

Starkniederschlagshöhen und -spenden gemäß KOSTRA-DWD-2020

Rasterfeld 143152

(Zeile 143, Spalte 152)

Regenspende und Bemessungsniederschlagswerte in Abhängigkeit von Wiederkehrzeit T und Dauerstufe D

| Dauerstufe D | | Wiederkehrzeit T | | | | | | | | | | | | | | | | | |
|--------------|-----|------------------|------------|------|------------|------|------------|------|------------|-------|------------|-------|------------|-------|------------|-------|------------|-------|------------|
| | | 1 a | | 2 a | | 3 a | | 5 a | | 10 a | | 20 a | | 30 a | | 50 a | | 100 a | |
| min | Std | mm | l / (s ha) | mm | l / (s ha) | mm | l / (s ha) | mm | l / (s ha) | mm | l / (s ha) | mm | l / (s ha) | mm | l / (s ha) | mm | l / (s ha) | mm | l / (s ha) |
| 5 | | 7,0 | 233,3 | 8,8 | 293,3 | 9,9 | 330,0 | 11,3 | 376,7 | 13,4 | 446,7 | 15,6 | 520,0 | 17,0 | 566,7 | 18,9 | 630,0 | 21,5 | 716,7 |
| 10 | | 9,2 | 153,3 | 11,6 | 193,3 | 13,0 | 216,7 | 15,0 | 250,0 | 17,7 | 295,0 | 20,6 | 343,3 | 22,5 | 375,0 | 24,9 | 415,0 | 28,4 | 473,3 |
| 15 | | 10,6 | 117,8 | 13,3 | 147,8 | 15,0 | 166,7 | 17,2 | 191,1 | 20,4 | 226,7 | 23,6 | 262,2 | 25,8 | 286,7 | 28,6 | 317,8 | 32,6 | 362,2 |
| 20 | | 11,6 | 96,7 | 14,5 | 120,8 | 16,4 | 136,7 | 18,8 | 156,7 | 22,3 | 185,8 | 25,8 | 215,0 | 28,2 | 235,0 | 31,3 | 260,8 | 35,7 | 297,5 |
| 30 | | 13,0 | 72,2 | 16,3 | 90,6 | 18,4 | 102,2 | 21,1 | 117,2 | 25,0 | 138,9 | 29,1 | 161,7 | 31,7 | 176,1 | 35,2 | 195,6 | 40,1 | 222,8 |
| 45 | | 14,5 | 53,7 | 18,2 | 67,4 | 20,5 | 75,9 | 23,6 | 87,4 | 27,9 | 103,3 | 32,4 | 120,0 | 35,4 | 131,1 | 39,2 | 145,2 | 44,8 | 165,9 |
| 60 | 1 | 15,6 | 43,3 | 19,6 | 54,4 | 22,1 | 61,4 | 25,4 | 70,6 | 30,1 | 83,6 | 34,9 | 96,9 | 38,1 | 105,8 | 42,3 | 117,5 | 48,2 | 133,9 |
| 90 | 1,5 | 17,3 | 32,0 | 21,8 | 40,4 | 24,5 | 45,4 | 28,1 | 52,0 | 33,3 | 61,7 | 38,7 | 71,7 | 42,2 | 78,1 | 46,8 | 86,7 | 53,4 | 98,9 |
| 120 | 2 | 18,6 | 25,8 | 23,3 | 32,4 | 26,3 | 36,5 | 30,2 | 41,9 | 35,8 | 49,7 | 41,5 | 57,6 | 45,3 | 62,9 | 50,2 | 69,7 | 57,3 | 79,6 |
| 180 | 3 | 20,5 | 19,0 | 25,7 | 23,8 | 29,0 | 26,9 | 33,3 | 30,8 | 39,4 | 36,5 | 45,8 | 42,4 | 49,9 | 46,2 | 55,4 | 51,3 | 63,2 | 58,5 |
| 240 | 4 | 21,9 | 15,2 | 27,6 | 19,2 | 31,0 | 21,5 | 35,6 | 24,7 | 42,2 | 29,3 | 49,0 | 34,0 | 53,5 | 37,2 | 59,3 | 41,2 | 67,7 | 47,0 |
| 360 | 6 | 24,1 | 11,2 | 30,3 | 14,0 | 34,2 | 15,8 | 39,2 | 18,1 | 46,5 | 21,5 | 53,9 | 25,0 | 58,8 | 27,2 | 65,3 | 30,2 | 74,5 | 34,5 |
| 540 | 9 | 26,5 | 8,2 | 33,3 | 10,3 | 37,6 | 11,6 | 43,1 | 13,3 | 51,1 | 15,8 | 59,3 | 18,3 | 64,7 | 20,0 | 71,8 | 22,2 | 81,9 | 25,3 |
| 720 | 12 | 28,4 | 6,6 | 35,7 | 8,3 | 40,2 | 9,3 | 46,1 | 10,7 | 54,6 | 12,6 | 63,4 | 14,7 | 69,2 | 16,0 | 76,7 | 17,8 | 87,5 | 20,3 |
| 1080 | 18 | 31,2 | 4,8 | 39,2 | 6,0 | 44,1 | 6,8 | 50,6 | 7,8 | 60,0 | 9,3 | 69,7 | 10,8 | 76,0 | 11,7 | 84,3 | 13,0 | 96,2 | 14,8 |
| 1440 | 24 | 33,3 | 3,9 | 41,9 | 4,8 | 47,2 | 5,5 | 54,1 | 6,3 | 64,1 | 7,4 | 74,5 | 8,6 | 81,3 | 9,4 | 90,1 | 10,4 | 102,8 | 11,9 |
| 2880 | 48 | 39,1 | 2,3 | 49,2 | 2,8 | 55,4 | 3,2 | 63,5 | 3,7 | 75,3 | 4,4 | 87,4 | 5,1 | 95,4 | 5,5 | 105,8 | 6,1 | 120,7 | 7,0 |
| 4320 | 72 | 43,0 | 1,7 | 54,0 | 2,1 | 60,8 | 2,3 | 69,8 | 2,7 | 82,7 | 3,2 | 96,0 | 3,7 | 104,7 | 4,0 | 116,2 | 4,5 | 132,5 | 5,1 |
| 5760 | 96 | 45,9 | 1,3 | 57,7 | 1,7 | 65,0 | 1,9 | 74,6 | 2,2 | 88,4 | 2,6 | 102,6 | 3,0 | 111,9 | 3,2 | 124,1 | 3,6 | 141,6 | 4,1 |
| 7200 | 120 | 48,3 | 1,1 | 60,7 | 1,4 | 68,4 | 1,6 | 78,5 | 1,8 | 93,0 | 2,2 | 108,0 | 2,5 | 117,8 | 2,7 | 130,7 | 3,0 | 149,1 | 3,5 |
| 8640 | 144 | 50,4 | 1,0 | 63,3 | 1,2 | 71,4 | 1,4 | 81,9 | 1,6 | 97,0 | 1,9 | 112,7 | 2,2 | 122,9 | 2,4 | 136,3 | 2,6 | 155,5 | 3,0 |
| 10080 | 168 | 52,2 | 0,9 | 65,6 | 1,1 | 73,9 | 1,2 | 84,8 | 1,4 | 100,5 | 1,7 | 116,7 | 1,9 | 127,4 | 2,1 | 141,2 | 2,3 | 161,2 | 2,7 |

Starkniederschlagshöhen und -spenden gemäß KOSTRA-DWD-2020

Rasterfeld 143152

(Zeile 143, Spalte 152)

Örtliche Unsicherheiten in Abhängigkeit von Wiederkehrzeit T und Dauerstufe D

| Dauerstufe D | | Wiederkehrzeit T | | | | | | | | |
|--------------|-----|------------------|-----|-----|-----|------|------|------|------|-------|
| | | 1 a | 2 a | 3 a | 5 a | 10 a | 20 a | 30 a | 50 a | 100 a |
| min | Std | ± % | ± % | ± % | ± % | ± % | ± % | ± % | ± % | ± % |
| 5 | | 12 | 12 | 12 | 12 | 13 | 13 | 14 | 14 | 15 |
| 10 | | 12 | 14 | 15 | 16 | 17 | 18 | 18 | 19 | 19 |
| 15 | | 14 | 16 | 17 | 18 | 20 | 20 | 21 | 21 | 22 |
| 20 | | 16 | 18 | 19 | 20 | 21 | 22 | 22 | 23 | 23 |
| 30 | | 17 | 19 | 20 | 21 | 22 | 23 | 24 | 24 | 25 |
| 45 | | 17 | 20 | 21 | 22 | 23 | 24 | 25 | 25 | 26 |
| 60 | 1 | 17 | 20 | 21 | 22 | 23 | 24 | 25 | 25 | 26 |
| 90 | 1,5 | 17 | 19 | 21 | 22 | 23 | 24 | 24 | 25 | 26 |
| 120 | 2 | 17 | 19 | 20 | 21 | 23 | 23 | 24 | 25 | 25 |
| 180 | 3 | 16 | 18 | 19 | 21 | 22 | 23 | 23 | 24 | 24 |
| 240 | 4 | 16 | 18 | 19 | 20 | 21 | 22 | 23 | 23 | 24 |
| 360 | 6 | 15 | 17 | 18 | 19 | 20 | 21 | 22 | 22 | 23 |
| 540 | 9 | 14 | 16 | 17 | 18 | 20 | 20 | 21 | 21 | 22 |
| 720 | 12 | 14 | 16 | 17 | 18 | 19 | 20 | 20 | 21 | 21 |
| 1080 | 18 | 14 | 16 | 17 | 17 | 18 | 19 | 20 | 20 | 21 |
| 1440 | 24 | 14 | 16 | 16 | 17 | 18 | 19 | 19 | 20 | 20 |
| 2880 | 48 | 15 | 16 | 16 | 17 | 18 | 19 | 19 | 19 | 20 |
| 4320 | 72 | 16 | 17 | 17 | 17 | 18 | 19 | 19 | 19 | 20 |
| 5760 | 96 | 17 | 17 | 17 | 18 | 18 | 19 | 19 | 19 | 20 |
| 7200 | 120 | 18 | 18 | 18 | 18 | 19 | 19 | 19 | 20 | 20 |
| 8640 | 144 | 18 | 18 | 18 | 19 | 19 | 19 | 20 | 20 | 20 |
| 10080 | 168 | 19 | 19 | 19 | 19 | 19 | 20 | 20 | 20 | 20 |

Parameter für abweichende T und D

Lokationsparameter ξ (Xi)

16,04905859

Skalenparameter α (Alpha)

5,72418876

Formparameter κ (Kappa)

-0,1

1. Koutsoyiannis-Parameter θ (Theta)

0,03351572

2. Koutsoyiannis-Parameter η (Eta)

0,7695322

Parameter für dauerstufenübergreifende Extremwertschätzung nach KOUTSOYIANNIS et al. 1998.

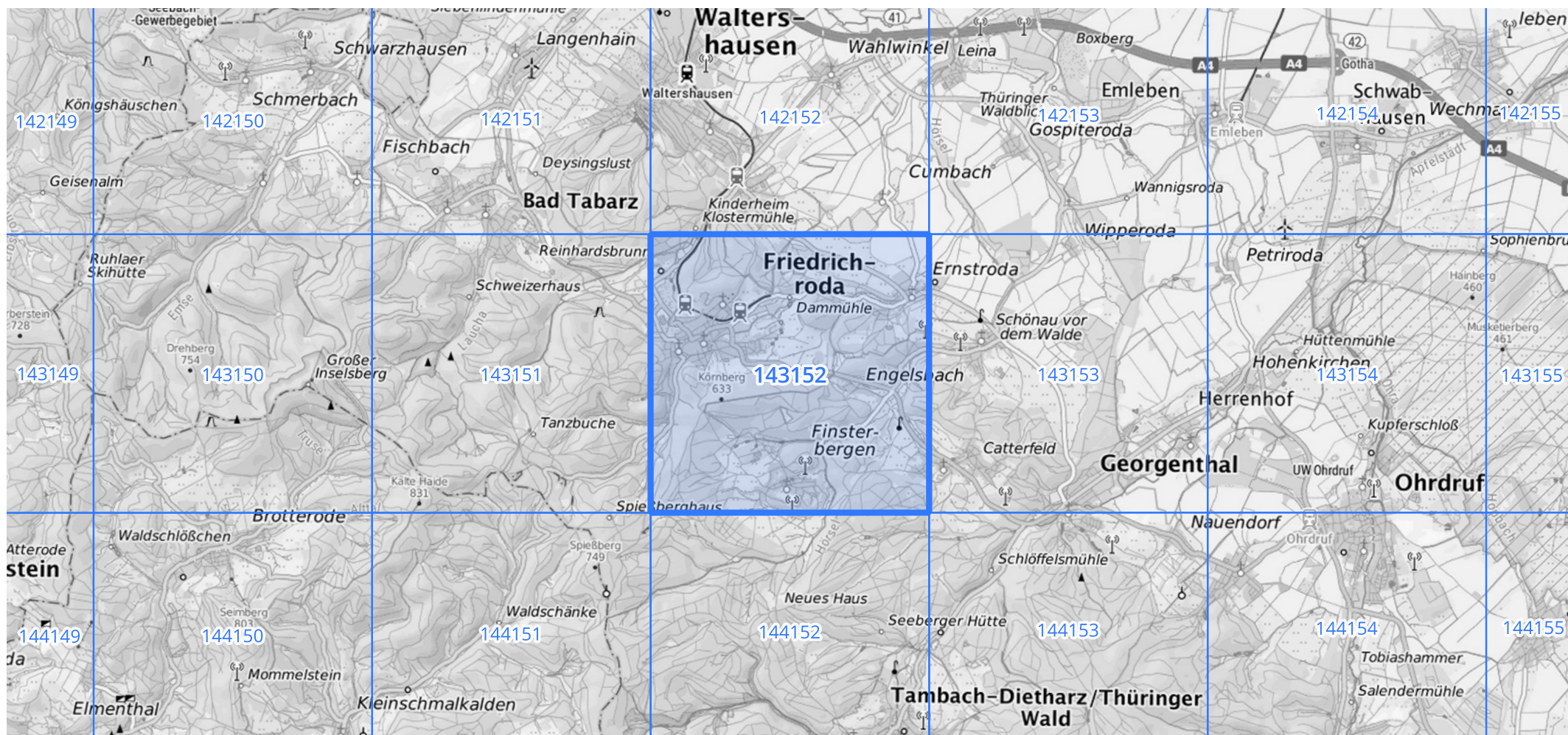
Siehe auch Anwendungshilfe zu KOSTRA-DWD-2020 des Deutschen Wetterdienstes.

Starkniederschlagshöhen und -spenden gemäß KOSTRA-DWD-2020

Rasterfeld 143152

(Zeile 143, Spalte 152)

Übersichtskarte des Rasterfeldes 143152, M 1 : 100 000



Quelle Rasterdaten: KOSTRA-DWD-2020 des Deutschen Wetterdienstes, Stand 12/2022.

Seite 3 von 3

Kartendarstellung: © Bundesamt für Kartographie und Geodäsie (2023), Datenquellen: https://sgx.geodatenzentrum.de/web_public/gdz/datenquellen/Datenquellen_TopPlusOpen.html

Für die Richtigkeit und Aktualität der Angaben wird keine Gewähr übernommen. Erstellt 01/2023.